

دراسة تأثير عائق لا مرکزي لفتحة دائيرية على الزيغ الكروي من الرتبة الثالثة

عدنان فالح حسن* مذر باقر حسن* طالب عبد الرضا عبد الواحد*

استلام البحث 15، ايار، 2008
تاریخ قبول النشر 19، كانون الثاني، 2009

الخلاصة :

تم في هذا البحث دراسة الزيغ الكروي من الرتبة الثالثة لمنظومة بصرية متكونة من فتحة دائيرية معائق بعائق دائري لا مرکزي وذلك بحساب قيم دالة الانتشار النقاطية (P.S.F) لحالة كون العائق في المركز و مقارنة هذه القيم عند تحريك العائق بعيدا عن المركز حيث أظهرت النتائج تحسنا واضحا لقيم دالة الانتشار (P.S.F) عند تحريك العائق، وقد ثبتت هذه الدراسة لقيم مختلفة من نسب الإعاقه ($\epsilon = 0.25, 0.5, 0.75$) وكذلك لقيم مختلفة من الزيغ الكروي من الرتبة الثالثة ($W_{40} = 0.25\lambda, 0.5\lambda, 0.75\lambda, 1\lambda$).

الكلمات المفتاحية: دالة الانتشار النقاطية، فتحة دائيرية، فتحة، معايق، زieg كروي

مقدمة :

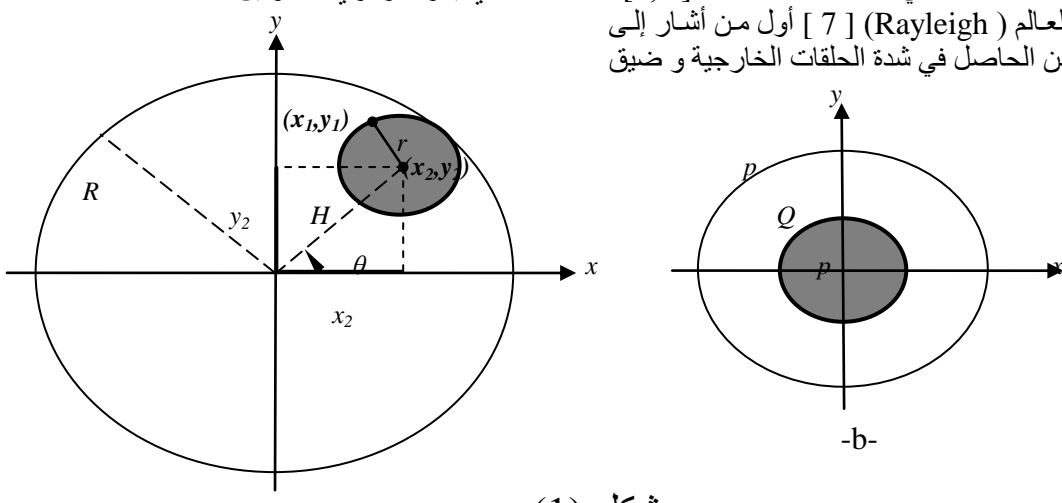
القمة المركزية عند استخدام فتحات حلقة في المنظومات البصرية .

إن قياس الزيغ الموجية والذي يتم في بؤرة الخروج يمكن معرفته بقياس الشدة في مستوى الصورة [8,1] و تعتبر دالة الانتشار النقاطية (P.S.F) من أهم الدوال المستخدمة لتقدير و حساب تأثير الزيغ وبالتالي تقدير نوعية الصورة [9,10].

اشتقاق معادلة دالة الانتشار النقاطية :-
من خلال الشكل (a-1) والذي يمثل عائق دائري نصف قطره (r) يتحرك ضمن فتحة دائيرية نصف قطرها (R) ، وأن (x_1, y_1) هو مركز العائق الدائري ، و (x_1, y_1) هي نقطة واقعة على محيط العائق الدائري ، (H) هو البعد بين مركز العائق الدائري ومركز الدائرة الكلية ، (θ) هي الزاوية المحصورة بين محور x والمستقيم الذي يمر بمركزي الدائرتين

من المعروف جيدا أن المنظومات البصرية لا تخلي من الزيغ مما توخيانا الدقة في عملية تصنيعها ، ومن أجل الحصول على صورة جيدة هناك عدة إجراءات متعددة لتقليل هذه الزيغ منها تغيير شكل العدسة أو إزاحة موقع فتحة الخروج [2,1] كذلك فإنه يمكن تقليل الزيغ الكروي على وجه الخصوص بوضع حاجب يحتوي على فتحة صغيرة تسمح بمرور الأشعة المنكسرة والتي تكون قريبة من مركز العدسة فقط [1] يعتبر الزيغ الكروي من الزيغ اللالونية أو ما تسمى بزيغ سيدل (Seidl Aberration) نسبة إلى العالم سيدل الذي قام بعدة أبحاث حول الزيغ اللالونية [3] وبعد العالمان (J.E. Vlleneure) و (Boivin) [4] من السباقين في إجراء بحوث مفصلة حول منظومات بصرية تعاني من زieg كروية .

لقد بينت التقنية الخاصة باستخدام الفتحة الحلقة أهمية كبيرة في التطبيقات العملية كما في التصوير وكذلك في التلسكوبات الفلكية [6,5] وبعد العالم (Rayleigh) [7] أول من أشار إلى التحسن الحاصل في شدة الالتفاتات الخارجية و ضيق



شكل (1)

ولغرض أيجاد دالة الانتشار النقطية الخاصة بالمنظومة المحتوية على عائق يتحرك في مدى قيم (H) و (θ) ، نلاحظ من خلال الشكل (1 - b) والذي يبين فتحة حلقة ذات عائق مركزي [11، 12] ، حيث (p) منطقة الدائرة الكاملة التي نصف قطرها (R) وتمثل (P') منطقة العائق المركزي بنصف قطر R .

حيث ϵ نسبة نصف قطر العائق إلى نصف قطر الدائرة وتدعى بنسبة الإعاقه او الحجب المركزي (Obscurities Ratio) قيمتها ($0 \leq \epsilon < 1$) . وبذلك نحسب منطقة الحلقة (Q) من حاصل طرح منطقة العائق من الدائرة الكلية [11، 5] :-

$$Q = p - p' \quad \dots \dots \dots (10)$$

وبذلك يمكن التعبير عن السعة المعقدة لفتحة الحلقة (المعaque) بدلالة دالة البؤبؤ ، باستخدام تحويلات فورير (Fourier Transform) لدالة البؤبؤ (pupil Function) [13] .

وبما ان :

$$f_{(x,y)} = \tau_{(x,y)} e^{i k \omega(x,y)} \quad \dots \dots \dots (11)$$

حيث ان : $e^{i k \omega(x,y)}$ تمثل دالة زينج جبهة الموجة .
 $\tau_{(x,y)}$ تمثل دالة الزيونغ .
 $\tau_{(x,y)}$ تمثل توزيع السعة الحقيقية (Real Amplitude) غالباً ما يوضع مساوياً للوحدة الواحدة (unity) .

فأن دالة الانتشار النقطية تأخذ الصيغة التكاملية التالية :

$$F_{(u,v)} = \frac{1}{A} \int_y \int_x f_{(x,y)} e^{2\pi i (ux+vy)} dx dy \quad \dots \dots \dots (12)$$

حيث أن : A تمثل مساحة بؤبؤ الإخراج .
 $F_{(u,v)}$ تمثل السعة المعقدة في مستوى الصورة .
 (u,v) إحداثيات مستوى الصورة .

أن الشدة في دالة الانتشار النقطية تحسب من خلال ضرب الدالة $F_{(u,v)}$ بالمرافق المعد لها أي أن :

$$\therefore G_{(u,v)} = |F_{(u,v)}|^2$$

$$\therefore G_{(u,v)} = n \cdot f \left| \int_y \int_x f_{(x,y)} e^{2\pi i (ux+vy)} dx dy \right|^2 \quad \dots \dots \dots (13)$$

حيث أن f . n يمثل عامل المعيارية (Normalizing Factor)

أن معادلة الدائرة الخاصة بالعائق تكتب بالشكل :

$$(x_1 - x_2)^2 + (y_1 - y_2)^2 = r^2 \quad \dots \dots \dots (1)$$

وحيث أن النسبة بين نصف قطر العائق إلى نصف قطر الدائرة الكلية يكون مساوياً إلى نصف قطر العائق عندما يكون نصف قطر الدائرة الكلية مساوياً للواحد فيكون :

$$\epsilon = \frac{r}{R} = r \quad \text{عندما } R = 1$$

وبذلك تكون المعادلة (1) بالشكل :

$$(x_1 - x_2)^2 + (y_1 - y_2)^2 = \epsilon^2 \quad \dots \dots \dots (2)$$

$$\because \cos \theta = \frac{x_2}{H} \Rightarrow x_2 = H \cos \theta \quad \dots \dots \dots (3)$$

$$\because \sin \theta = \frac{y_2}{H} \Rightarrow y_2 = H \sin \theta \quad \dots \dots \dots (4)$$

وبتعويض المعادلة (3) و (4) في معادلة (2) نحصل على :

$$(x_1 - H \cos \theta)^2 + (y_1 - H \sin \theta)^2 = \epsilon^2$$

$$\therefore x_1 = \pm \sqrt{\epsilon^2 - (y_1 - H \sin \theta)^2} + H \cos \theta \quad \dots \dots \dots (5)$$

إن المعادلة (5) تمثل تغير x_1 عند أجراء المسح للعائق الدائري على المحور السيني لغرض الحصول على التكامل ، أما تغير y_1 اللازم لأجراء التكامل على المحور الصادي فإنه يعطى بـ :

$$y_1 = \pm \epsilon + y_2 \quad \dots \dots \dots (6)$$

وبتعويض عن قيمة y_2 من المعادلة (4) في معادلة (6) نحصل على :

$$y_1 = \pm \epsilon + H \sin \theta \quad \dots \dots \dots (7)$$

إن قيمة H تأخذ قيم محصورة بين قيمتين هما :
1. عندما يكون العائق يمس الدائرة الكلية من جهة معينة ، فإن أكبر قيمة لـ (H) ستكون :

$$H = 1 - r = 1 - \epsilon \quad \dots \dots \dots (8)$$

2. عندما يكون العائق يمس الدائرة الكلية من الجهة المقابلة للجهة الأولى فإن (H) تأخذ اصغر قيمة أي أن :

$$H = -(1 - r) = -(1 - \epsilon)$$

وعليه يكون :

$$-(1 - r) \leq H \leq (1 - \epsilon) \quad \dots \dots \dots (9)$$

أما الزاوية θ فتكون محصورة بين

$$0 \leq \theta \leq 2\pi$$

$$G_{(z)} = n \cdot f \left| \int_y \int_x f_{(x,y)} e^{iz'x} dx dy \right|^2 \dots \dots \dots (15)$$

وباستخدام المفهوم الفيزيائي للمعادلة (10) وبالتعويض عن حدود تكامل العائق بالمعادلتين (5) و (6) نحصل على:

وباعتبار أن $m' = 2\pi v'$ ، $z = 2\pi u'$ تكون المعادلة (13) بالشكل :

$$G_{(z',m')} = n \cdot f \left| \int_y \int_x f_{(x,y)} e^{i(z'x + m'y)} dx dy \right|^2 \dots \dots \dots (14)$$

ويمكن الاكتفاء بمحور واحد في مستوى الصورة لتشابه توزيع الشدة على كل من المحورين z ، m ، أي يمكن وضع $m=0$ وبذلك يكون :

$$P.S.F = G_{(z)} = n \cdot f \left| \int_{-1}^1 \int_{-\sqrt{1-y^2}}^{\sqrt{1-y^2}} f_{(x,y)} e^{izx} dx dy - \int_{-\epsilon + H \sin \theta}^{+\epsilon + H \sin \theta} \int_{-\sqrt{\epsilon^2 - (y_1 - H \sin \theta)^2 + H \cos \theta}}^{+\sqrt{\epsilon^2 - (y_1 - H \sin \theta)^2 + H \cos \theta}} f_{(x_1, y_1)} e^{iz_1 x_1} dx_1 dy_1 \right|^2 \dots \dots \dots (16)$$

$$\begin{aligned} y_{11} &= \epsilon \sin \beta \quad \text{و} \quad y = \sin \alpha \\ \alpha &= \pi / 2 \quad \text{فإن} \quad y = 1 \quad \text{لذا عندما :} \\ \alpha &= -\pi / 2 \quad \text{فإن} \quad y = -1 \\ \beta &= \pi / 2 \quad \text{فإن} \quad y_{11} = \epsilon \\ \beta &= -\pi / 2 \quad \text{فإن} \quad y_{11} = -\epsilon \end{aligned}$$

وفي حالة كون النظام محدد بالحبيبات فإن دالة الزيج $\omega_{(x,y)} = 0$ وبذلك تكون دالة البؤرة $f_{(x,y)} = 1$ (حسب المعادلة (11)) ، ولا يجاد قيمة عامل المعايرة التي يجعل الدالة $G_{(u,v)} = 1$ عندما $z \rightarrow 0$ نكامل المعادلة [11, 5] .

نفترض أن :

$$y_{11} = y_1 - H \sin \theta \Rightarrow dy_{11} = dy_1$$

$$\text{when } y_1 = \epsilon + H \sin \theta \Rightarrow$$

$$\beta = -\pi / 2$$

$$\therefore P.S.F = G_{(0)} = 1 = n \cdot f \left| 2 \int_{-\pi/2}^{\pi/2} \cos^2 \alpha d\alpha 2\epsilon^2 \int_{-\pi/2}^{\pi/2} \cos^2 \beta d\beta \right|^2$$

$$1 = n \cdot f \left| 4 \int_0^{\pi/2} \cos^2 \alpha d\alpha - 4\epsilon^2 \int_0^{\pi/2} \cos^2 \beta d\beta \right|^2$$

$$1 = n \cdot f \pi^2 (1 - \epsilon^2)^2$$

$$y_{11} = \epsilon + H \sin \theta - H \sin \theta = \epsilon$$

$$y_{11} = \epsilon \dots \dots \dots (17)$$

$$\text{when } y_1 = -\epsilon + H \sin \theta \Rightarrow$$

$$y_{11} = -\epsilon + H \sin \theta - H \sin \theta = -\epsilon$$

$$\therefore y_{11} = -\epsilon \dots \dots \dots (18)$$

$$\therefore n \cdot f = \frac{1}{\pi^2 (1 - \epsilon^2)^2} \dots \dots \dots (20)$$

وهذا يطابق نتائج V.N. Mahajan [12] وبتعويض قيمة $n \cdot f$ من المعادلة (20) في المعادلة (16) نحصل على :

$$\therefore G_{(z)} = 1 = n \cdot f \left| \int_{-1}^1 \int_{-\sqrt{1-y^2}}^{\sqrt{1-y^2}} dx dy - \int_{-\epsilon}^{+\epsilon} \int_{-\sqrt{\epsilon^2 - y_{11}^2 + H \cos \theta}}^{+\sqrt{\epsilon^2 - y_{11}^2 + H \cos \theta}} dx_1 dy_{11} \right|^2$$

$$= n \cdot f \left| \int_{-1}^{+1} 2\sqrt{1-y^2} dy - \int_{-\epsilon}^{+\epsilon} 2\sqrt{\epsilon^2 - y_{11}^2} dy_{11} \right|^2 \dots \dots \dots (19)$$

ولتبسيط إجراء التكامل نفرض أن :

$$P.S.F = G_{(z)}$$

$$= \frac{1}{\pi^2 (1-\epsilon^2)^2} \left| \int_{-1}^1 \int_{-\sqrt{1-y^2}}^{\sqrt{1-y^2}} f_{(x,y)} e^{ixy} dx dy - \int_{-\epsilon+H\sin\theta}^{+\epsilon+H\sin\theta} \int_{-\sqrt{\epsilon^2-(y_1-H\sin\theta)^2}+H\cos\theta}^{+\sqrt{\epsilon^2-(y_1-H\sin\theta)^2}+H\cos\theta} f_{(x_1,y_1)} e^{ix_1x_1} dx_1 dy_1 \right|^2. \quad (21)$$

وبالتعويض عن قيمة $f_{(x,y)}$ حسب المعادلة (11) بـ $e^{ik\omega(x,y)}$ باعتبار أن $\tau_{(x,y)} = 1$ في المعادلة (21) نحصل على :

$$\begin{aligned} P.S.F = G_{(z)} &= \frac{1}{\pi^2 (1-\epsilon^2)^2} \left| \int_{-1}^{+1} \int_{-\sqrt{1-y^2}}^{\sqrt{1-y^2}} e^{ik\omega(x,y)} e^{ixy} dx dy - \int_{-\epsilon+H\sin\theta}^{+\epsilon+H\sin\theta} \int_{-\sqrt{\epsilon^2-(y_1-H\sin\theta)^2}+H\cos\theta}^{+\sqrt{\epsilon^2-(y_1-H\sin\theta)^2}+H\cos\theta} e^{ik\omega(x,y)} e^{iz_1x_1} dx_1 dy_1 \right|^2 \\ P.S.F = G_{(z)} &= \frac{1}{\pi^2 (1-\epsilon^2)^2} \left| \int_{-1}^{+1} \int_{-\sqrt{1-y^2}}^{\sqrt{1-y^2}} e^{2\pi(\omega(x,y)+zx)} dx dy - \int_{-\epsilon+H\sin\theta}^{+\epsilon+H\sin\theta} \int_{-\sqrt{\epsilon^2-(y_1-H\sin\theta)^2}+H\cos\theta}^{+\sqrt{\epsilon^2-(y_1-H\sin\theta)^2}+H\cos\theta} e^{2\pi(\omega(x,y)+z_1x_1)} dx_1 dy_1 \right|^2 \end{aligned} \quad (22)$$

الطول الموجي ، وبتبسيط المعادلة (22) ولكون دالة \sin دالة فردية نحصل على :

حيث عوضنا عن العدد الموجي $k = \frac{2\pi}{\lambda}$
والأخذ بنظر الاعتبار ان دالة الزيف تقاس بوحدات

$$\begin{aligned} P.S.F = G_{(z)} &= \frac{1}{\pi^2 (1-\epsilon^2)^2} \left[\left[\int_{-1}^{+1} \int_{-\sqrt{1-y^2}}^{\sqrt{1-y^2}} \cos\{2\pi\omega(x,y) + zx\} dx dy \right]^2 \right. \\ &\quad \left. - \left[\int_{-\epsilon+H\sin\theta}^{+\epsilon+H\sin\theta} \int_{-\sqrt{\epsilon^2-(y_1-H\sin\theta)^2}+H\cos\theta}^{+\sqrt{\epsilon^2-(y_1-H\sin\theta)^2}+H\cos\theta} \cos\{2\pi\omega(x,y) + z_1x_1\} dx_1 dy_1 \right]^2 \right] \dots (23) \end{aligned}$$

من خلال هذا الشكل يتضح أن زيادة قيمة الزيف الكروي من المرتبة الثالثة يؤدي إلى هبوط في قيم (P.S.F) وعند تحريك العائق الدائري عن المركز وجعله بوضع مماس لمحيط الدائرة الكلية وبزاوية ($\theta = 60^\circ$) مع المحور x وهذا ما يبينه الشكل (3) ، نجد أن قيمة (P.S.F) في حالة عدم وجود الزيف الكروي من المرتبة الثالثة تتطابق مع قيمتها عندما يكون العائق في المركز ، وعند إدخال قيم مختلفة من معاملات الزيف الكروي

للمرتبة الثالثة ($\lambda = 0.25\lambda, 0.5\lambda, 0.75\lambda, 1\lambda$) فإن قيم (P.S.F) لهذه الحالات كانت أعلى من قيمها عندما كان العائق في المركز ولنفس قيم معاملات الزيف الكروي من المرتبة الثالثة . وهذا يدل على أن تحريك العائق قد سبب تحسناً واضحاً في قيم (P.S.F) .

لغرض دراسة تأثير زيادة نسبة العائق عن النسبة المستخدمة سابقاً ($\epsilon = 0.25$) تم تغيير نسبة العائق بالمقادير ($\epsilon = 0.5, 0.75$) واجري الحساب لقيم (P.S.F) عندما يكون العائق في المركز ولحالات وجود وعدم وجود الزيف الكروي

حيث تم برمجة المعادلة (23) بعد كتابتها بطريقة كاوس العددية ، وباستخدام لغة Q-Basic لحساب قيم (P.S.F) لكل قيمة من قيم (ϵ) ورسمت منحنيات (P.S.F) مقابل ϵ وتم مناقشة النتائج .

النتائج والمناقشة:

من ملاحظة الشكل (2) والذي يمثل منحنى العلاقة بين دالة الانشار النقطية (P.S.F) على المحور y ، وقيم البعد عن المحور البصري (Z) ولحالة يكون فيها نسبة الإعاقة صفراء ($\epsilon = 0$) نلاحظ أن دالة الانشار النقطية (P.S.F) قيمتها واحد ، وعندما يكون موقع العائق في المركز والنظام خالي من الزيوج والخطأ البوري كانت أعلى قيمة لـ P.S.F هي (0.879) وهذه النتائج تتفق مع النتائج السابقة [15,14] وهذا يؤكد صحة الاشتغال المستخدم في هذا البحث وصحة البرنامج المستخدم ، وكذلك تتفق نتائج قيم (P.S.F) مع حالات وجود الزيف الكروي من المرتبة الثالثة ($\lambda = 0.25\lambda, 0.5\lambda, 0.75\lambda, 1\lambda$) وتتفق مع الأدب [17,16] .

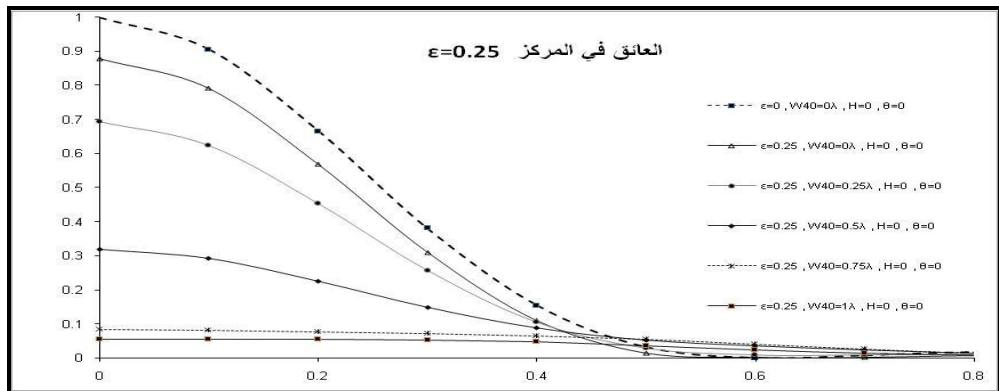
بها التركيب للفتحة و إن الاضطراب في الطور يكون منخفض نسبيا بعد اجتياز العدسة.

الاستنتاجات:-

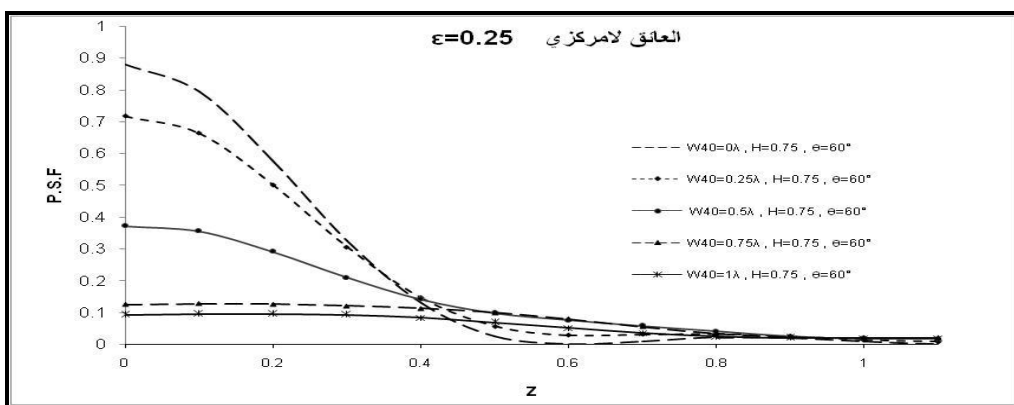
- عند تحريك العائق بعيدا عن المركز فان قيم دالة الانتشار النقطية (P.S.F) تتحسن بشكل ملحوظ.
- إن تأثير تحريك العائق بعيدا عن المركز يكون أكثر وضواحا و يؤدي وبالتالي إلى تحسين قيم دالة الانتشار النقطية (P.S.F) كلما ازدادت نسبة الإعاقه.
- يكون تأثير تحريك العائق بعيدا عن المركز ذو أهمية واضحة كلما ازداد مقدار الزيغ و يؤدي إلى تحسين قيم دالة الانتشار النقطية (P.S.F).

من المرتبة الثالثة وهذا ما تبينه الأشكال (7, 4, 5, 6) وكانت قيم (P.S.F) أوطأ من قيمتها عندما كان العائق ($\epsilon = 0.25$) وعندما كان ($\epsilon = 0.75$) كانت أقل من قيمتها عندما كانت ($\epsilon = 0.5$) وان تحريك العائق قد سبب زيادة في قيم (P.S.F) عند تلك التي تحتوي على عائق دائري في المركز. يعود سبب انخفاض قيم (P.S.F) عند زيادة نسبة العائق إلى ظهور دور الحيوان للأشعة الضوئية المارة إلى العدسة و عدم ظهور تأثير دور الزيغ كون الزيغ يظهر تأثيرها عندما تكون فتحة العدسة كبيرة.

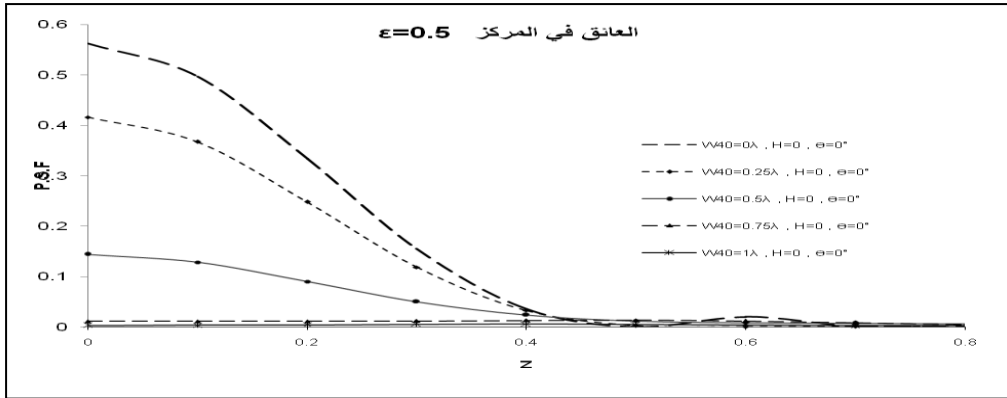
أما سبب تحسن قيم (P.S.F) عند تحريك العائق و وضعه بشكل مماس للدائرة الكبيرة و بزاوية (60°) درجة فهو محافظة الموجة الضوئية المارة في هذه الفتحة على شكلها الكروي (تقريبا)



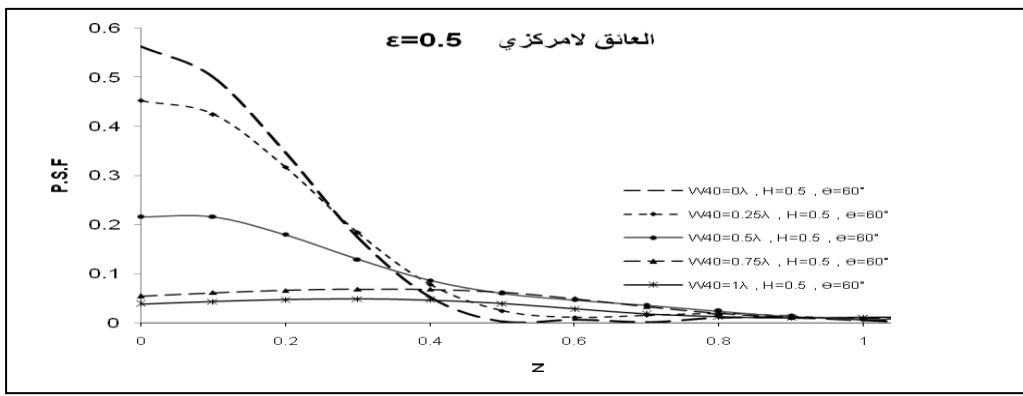
شكل (2) يمثل دالة الانتشار النقطية على طول المحور البصري Z لفتحة دائيرية ذات عائق مركري ذاتي لقيمة $\epsilon=0.25$ لقيمة $VV40$ مختلفة من الزيغ



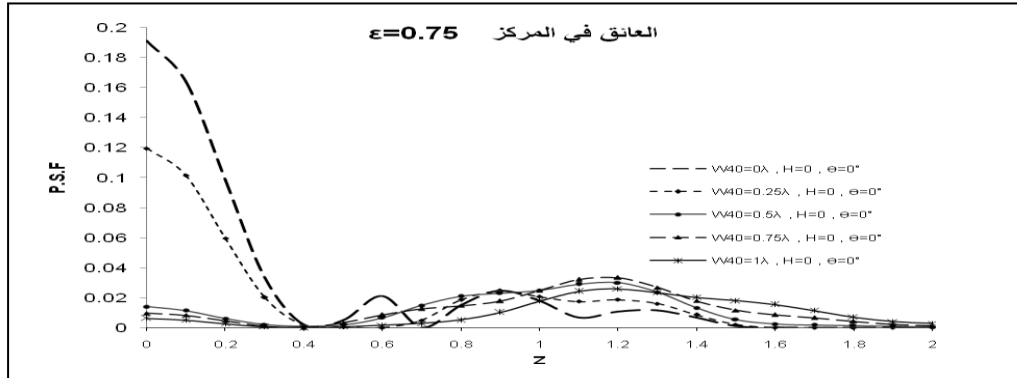
شكل (3) يمثل دالة الانتشار النقطية على طول المحور البصري Z لفتحة دائيرية ذات عائق لامركزي ذاتي لقيمة $\epsilon=0.25$ لقيمة $VV40$ مختلفة من الزيغ



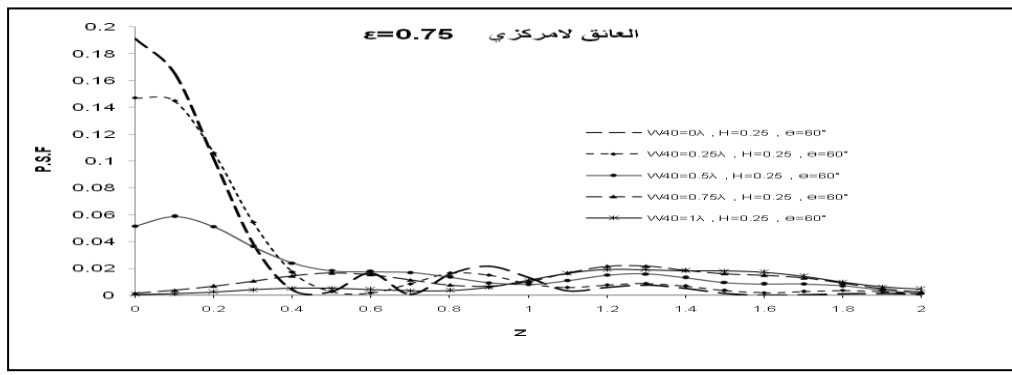
شكل (4) تمثل دالة الانتشار النقطية على طول المحور البصري Z لفتحة دائيرية ذات عانق مركزي $\varepsilon = 0.5$ لقيم مختلفة من الزيوغ



شكل (5) تمثل دالة الانتشار النقطية على طول المحور البصري Z لفتحة دائيرية ذات عانق لامركزي $\varepsilon = 0.5$ لقيم مختلفة من الزيوغ



شكل (6) تمثل دالة الانتشار النقطية على طول المحور البصري Z لفتحة دائيرية ذات عانق مركزي $\varepsilon = 0.75$ لقيم مختلفة من الزيوغ



شكل (7) تمثل دالة الانتشار النقطية على طول المحور البصري Z لفتحة دائيرية ذات عانق لامركزي $\varepsilon = 0.75$ لقيم مختلفة من الزيوغ

المصادر:

10. Vasudevan L. and Maria L. 1990 .Point spread function and modulation transfer function of a photo lens treated as a cascade linear system under the Fresnel regime . Optical Engineering.29 (3):263-270
11. Gai H.,Wang J.,Tian Q.,Xia W. and Xu X. 2007. Experimental investigation of the performance of an annular aperture and circular aperture on the same very small aperture . Applied Optics 46(25):6449-6453
12. Mahajan V .N. 1983. Axial irradiance and optimum focusing of laser beams .App. opt. 22 (19):3042-3053.
13. Novotng L. and Hecht B. 2006. principles of Nano-optics .Cambridge press, pp.139 .
14. ال شعبان, غادة صباح . 2001 . حساب الاستضاءة الكلية في صورة جسم نقطي ، أطروحة دكتوراه، الجامعة المستنصرية،
15. Ali H. Abdul-Munaim . 1997. Numerical Evaluation of lenses Quality for incoherent source using computer software. Ph. D. thesis .Almustansiriyh University.
16. Biswas S.C. and Boivin A. 1976 .Influence of spherical Aberration on the performance of optimum Apodizers . Optical Acta. 23 (7):569-588.
- 17.Levin C.S. , Tornai M.P. , Cherry S.R. and Macdonald L.R. 1997.Numerical Aperture limits on Efficient Ball lens coupling of laser diodes to single mode Fibers with Defocus to Balance spherical Aberration . Korean J. Physical Soc
1. Hecht E. 1987 Optics , 2nd Edition, Addison-Wesley publishing Company, pp.198 .
2. Miks A., Novak J. and Novak P.2008. Method of zoom lens design. Applied optics. 47 (32):6088-6098
3. Zhao C. and Burge J.H.2002.Comparison of exact pupil astigmatism condition with Seidel approximations. Applied Optics. 41(34):7284-7287.
4. Dietze H.H. and Cox J.M.2004. Correcting ocular spherical aberration with soft contact lenses. J.Opt.Soc.Am. A 21(4):473-485 .
5. Powell I . 1973. The computation of Aberrational Diffraction Images for catadioptric systems. . Optical Acta . 20(11):879-900.
6. Ojeda J., Tepichin E. and Pons A. 1988.Apodization of annular apertures Applied optics.27(24) :5140-5145.
7. Tschunko H. F.A. 2004. Annular Apertures with High Obstruction. Applied Optics.43(4):841-849
8. Claxton C.D. and Staunton R. C. 2008. Measurement of the Point Spread Function of a noisy imaging system. J. Opt. Soc. Am. A 25(1):108-115
9. Shaevitz J. W. and Fletcher D.A. 2007 Enhanced three – dimensional deconvolution microscopy using a measured depth-varying point spread function. J.Opt.Soc.Am. A 24(9):2622-2627

Study of effect of non-central obscuration to obscured circular aperture on third order spherical aberration

*Adnan falih hassen**

*Munther bakir hessen**

*Talib abdul rudha abdul wahid**

*University of kufa/College of sciences/Physics dep.

Abstract:

In this research we have been studied the 3rd order spherical aberration for an optical system consisted of obscured circular aperture with non central circular obscuration through the calculation of point spread function (P.S.F) in presence of the obscuration in the center and comparing the obtained results with that results of moving obscuration far away from the center, where the results showed significant improvement for(P.S.F) value. The study was done of different obscurities ratios in addition to the different 3rd order spherical aberration values ($W_{40}=0.25\lambda, 0.5\lambda, 0.75\lambda, 1\lambda$).